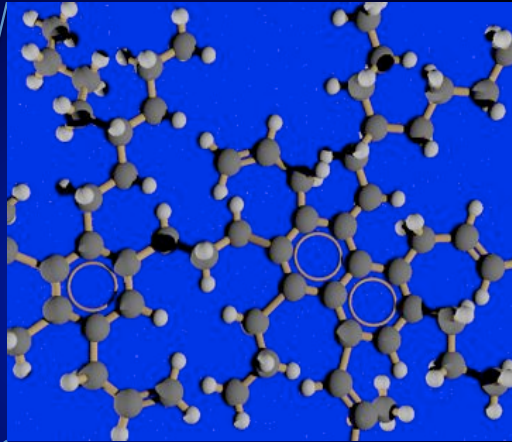


EL5 :
Atomes,
Molécules,
Solides



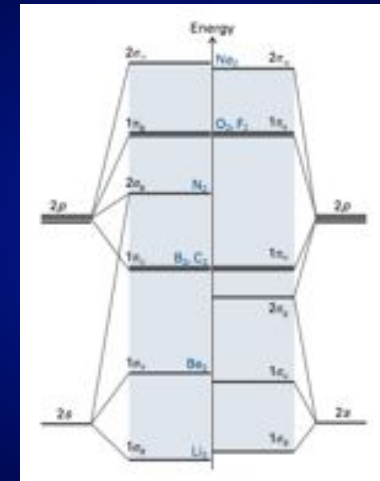
E. Dartois, ISMO, Orsay, France
emmanuel.dartois@u-psud.fr



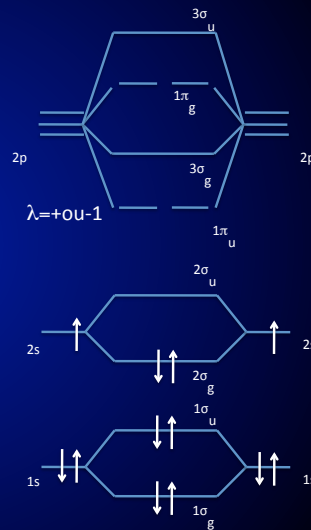
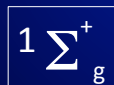
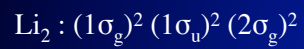
J. Belushi 2008

<http://hebergement.u-psud.fr/edartois/Teaching.html>

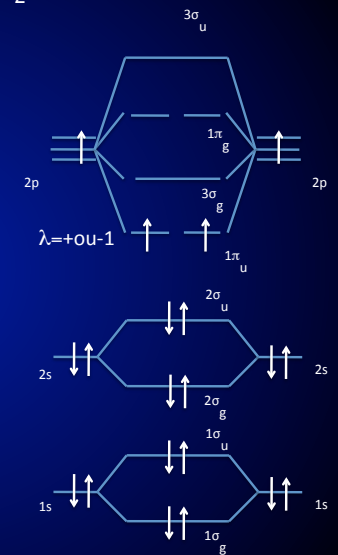
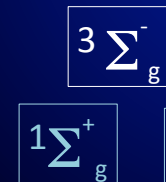
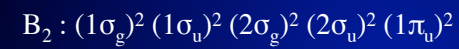
Niveau fondamentaux Li_2 , B_2 et C_2



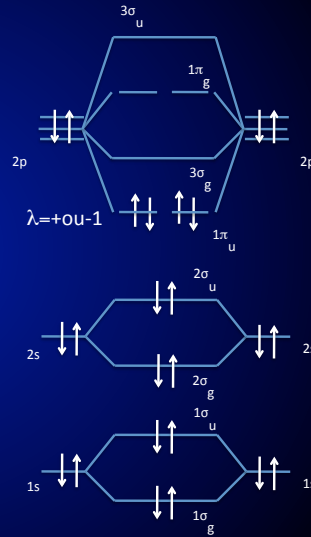
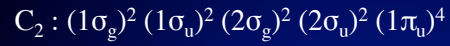
Niveau fondamentaux Li_2 , B_2 et C_2



Niveau fondamentaux Li_2 , B_2 et C_2

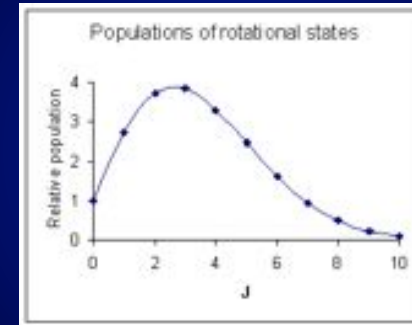


Niveau fondamentaux Li₂, B₂ et C₂



Population des niveaux rotationnels

$$N_J = N_{\text{TOTAL}} \cdot (2J+1) \cdot e^{-BJ(J+1)/kT} / Q_{\text{rot}}$$

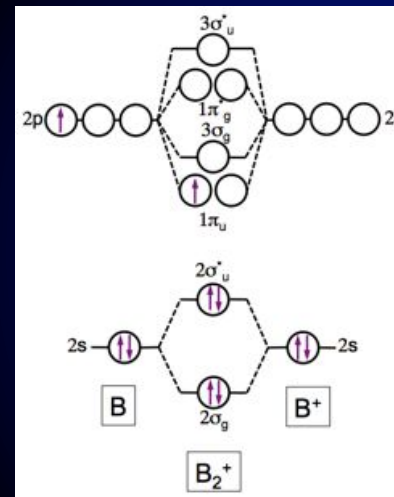
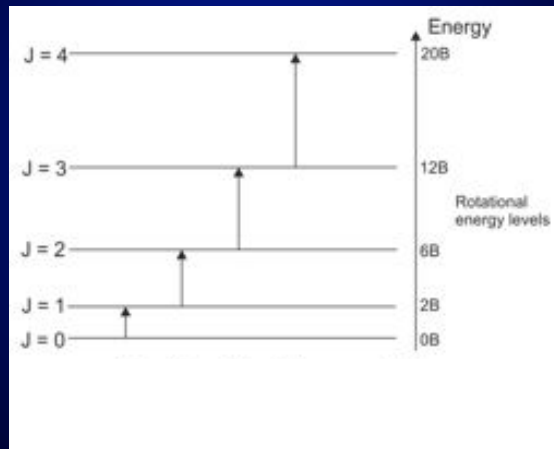


$$Q_{\text{rot}} = \sum_J (2J+1) \cdot e^{-BJ(J+1)/kT}$$

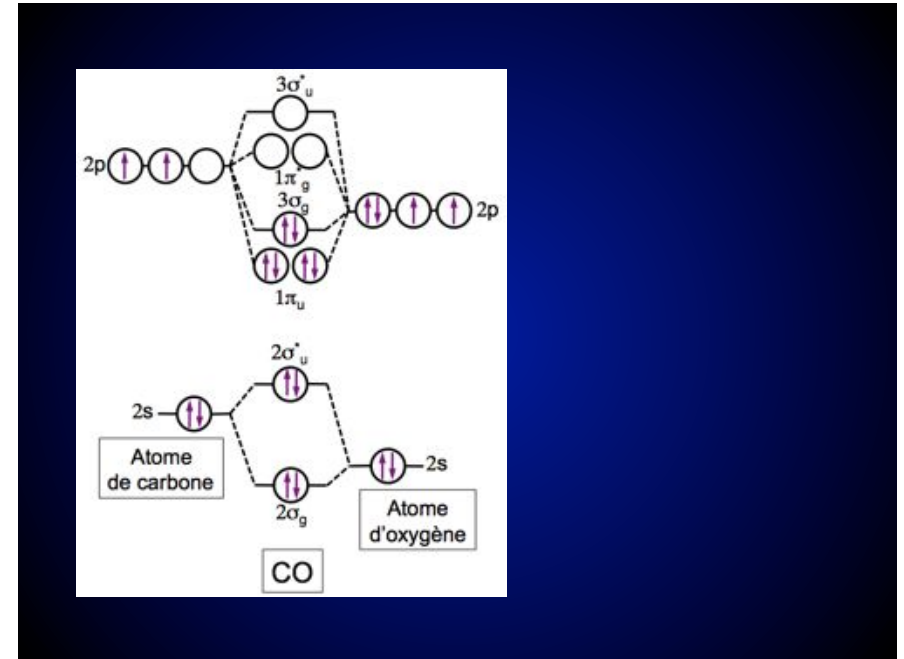
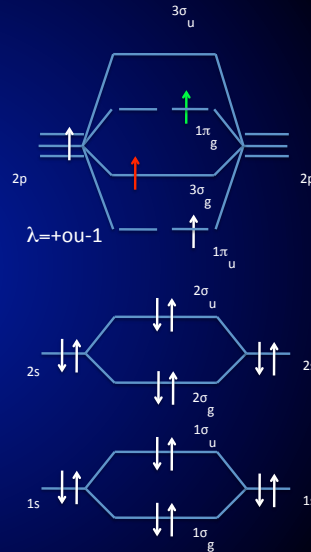
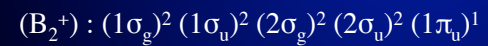
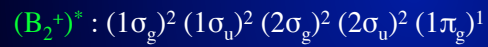
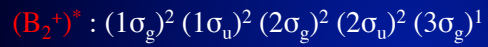
Déterminer le niveau le plus peuplé en fct de la température

Niveaux rotationnels & transitions

$$\Delta E (J+1 \leftarrow J) = B(J+1)(J+2) - B J(J+1) = 2B(J+1)$$



Niveaux B₂⁺



Solides

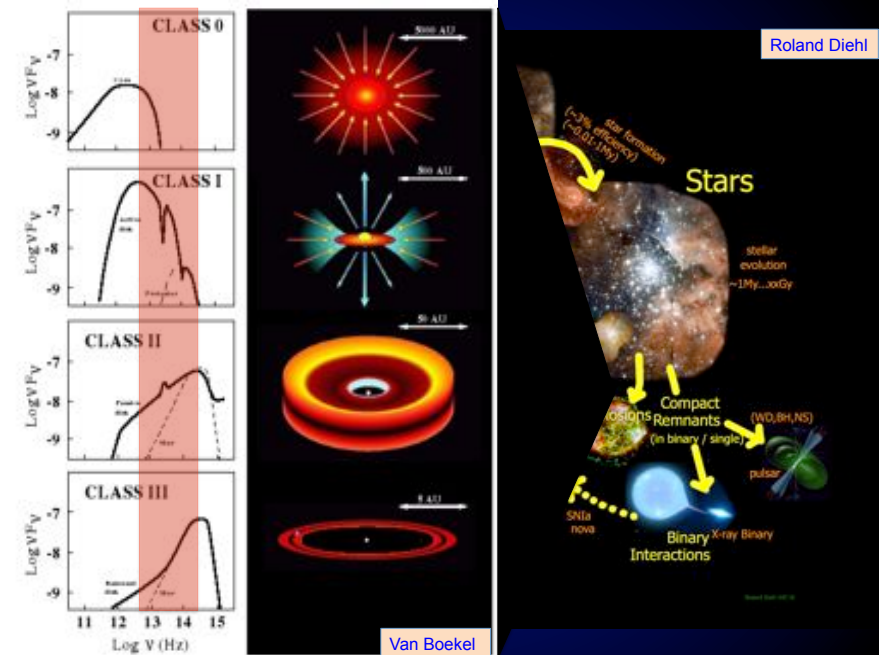
Introduction

Solides réfractaires (et très grosses molécules...)

Observations

Minéraux (compositions et phases)

≠ formes de matière carbonée et leur mode d'émission/absorption (PAHs, fullérènes, HAC)



Phases neutres du MIS

Phase	nH (cm ⁻³)	T (K)	x	Mass (%)
WNM	0.1–1	10 ⁴ – 10 ³	~0.01	25
CNM	10–100	500–100	~10 ⁻⁴	25
MC	>10 ³	<50	<10 ⁻⁵	30

Verstraete 2011, Wolfire 2003

La loi d'extinction



$$S = S_0 \exp[-\tau_v] = S_0 \exp[-\int_0^D \kappa_v dx]; \quad \tau_v = \kappa_v D = N \sigma_{\text{ext}} D$$

Flux versus magnitude

$$-2.5 \log_{10} S = -2.5 \log_{10} S_0 - 2.5 \log_{10} (\exp[-\tau])$$

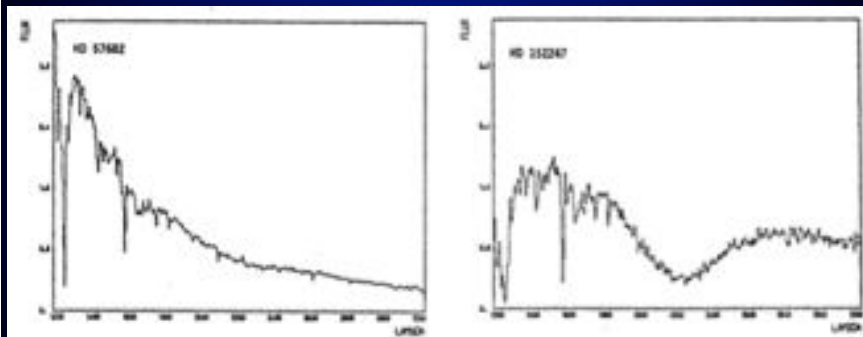
$$m = m_0 + 2.5\tau / \ln(10) = m_0 + A = m_0 + 1.086\tau$$

"A" est l'extinction en magnitude

Rappel : $m = -2.5 \log_{10}(F/F_0)$ magnitude apparente

F_0 représente le flux d'une étoile de référence

Extinction dans l'UV



IUE, Egret 1985

Excès de couleur (rougissement)

$$E(B-V) = (B-V) - (B-V)_0 = A_B - A_V$$

= [indice de couleur observé] - [intrinsèque]
indépendant de la distance

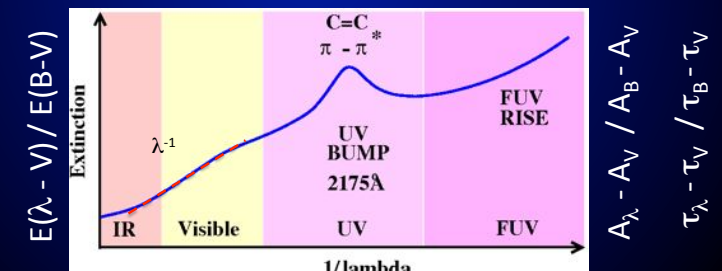
Magnitude apparente

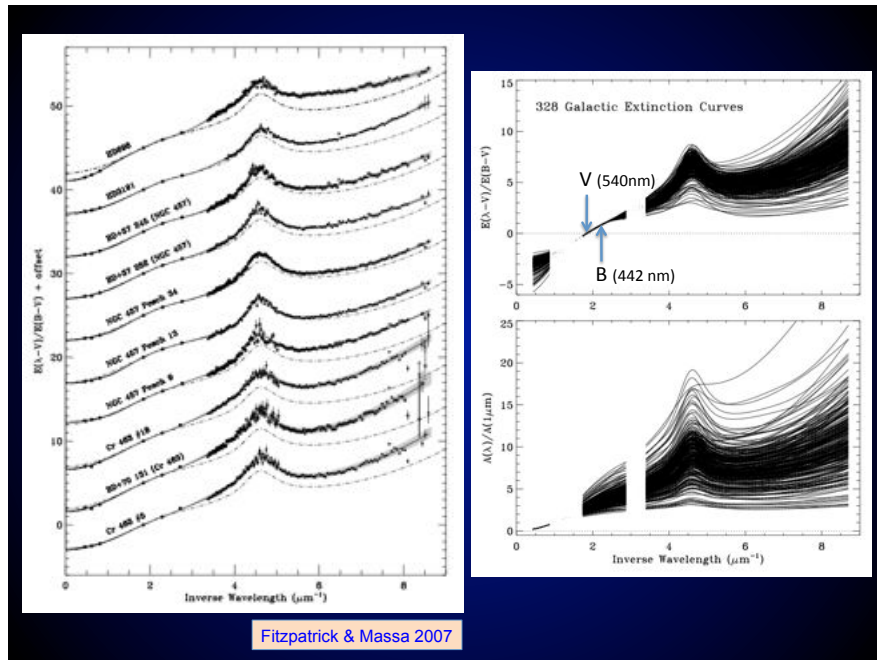
Rapport de l'extinction totale sur l'extinction sélective

$$R = A_V / E(B-V) \approx 3.1$$

$$A_V = 1.086\tau$$

Corrélié avec la taille moyenne des grains responsable de l'extinction





A_λ varie en λ^{-1}

Molécules λ^{-4}
 Particules $a \ll \lambda$

Particules $a \gg \lambda$ λ^0

Particules $a \sim \lambda$ λ^{-1}

Quantité de poussière ?

Extinction galactique moyenne visible $\approx 1.8 \text{ mag/kpc}$

$$\tau_v = N \sigma_{\text{ext}} D \quad A_v = 1.086 \tau$$

pc : $3.08 \times 10^{16} \text{ m}$

$N \sigma_{\text{ext}} ?$

Rapport gaz/grain

Si on prend $a \approx 0.1 \mu\text{m}$

$N_{\text{grain}} ?$

Si on prend $a \approx 0.1 \mu\text{m}$ et $\rho \approx 2-3 \text{ g/cm}^3$

$m_{\text{grain}} ?$

$\rho_{\text{poussières}} / \rho_{\text{gaz}} \approx$

$$M_{\text{grain}} \times N_{\text{grain}} / M_{\text{H}} \times N_{\text{H}}$$

$\rho_{\text{poussières}} / \rho_{\text{gaz}} \approx ?$

Abondances interstellaires des éléments (DISM, $N_H \sim 100 \text{ cm}^{-3}$)

Élément	$[X/H]_{IS}$ (ppm)	δX (%)
He	$7.8 \cdot 10^4$	0
C	288.4	38.7
N	79.4	22.2
O	575.4	41.9
Mg	41.7	94.6
Si	40.7	95.6
S	18.2	80.7
Fe	34.7	99.4

Lodders 2003, Jenkins 2009, Verstraete 2011

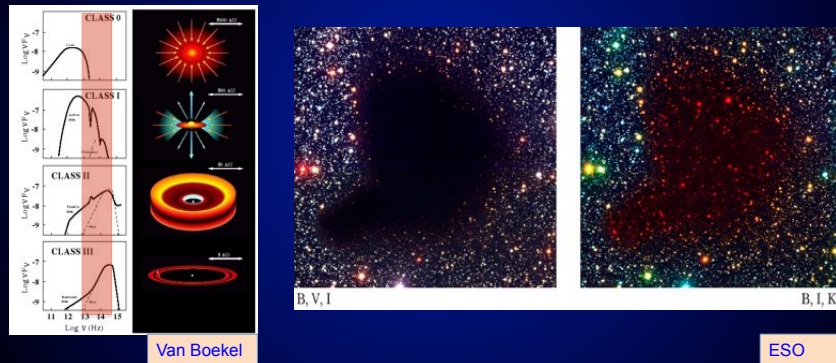
Les trois grandes phases

Minéraux / (Hydro-)carbures / Glaces



Longueurs d'ondes d'intérêt :

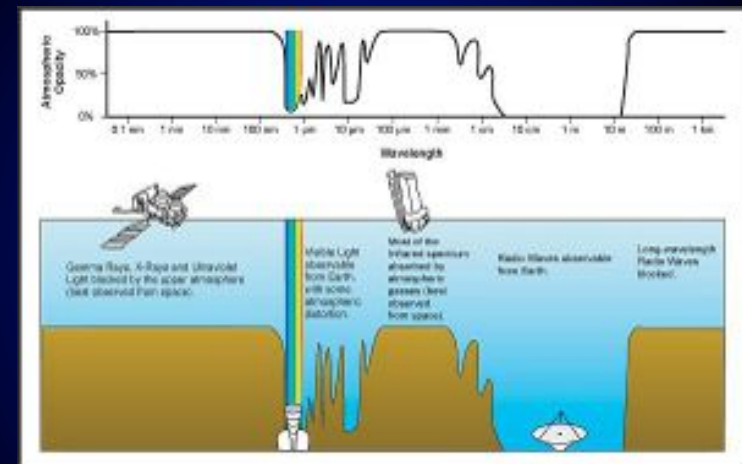
Compromis longueur d'onde / signatures



Van Boekel

ESO

Transmission atmosphérique



Caltech

Astronomie infrarouge spatiale

Beginning with the Infrared Astronomical Satellite (IRAS) in 1983. (the Netherlands, UK, USA/ 10 months / first maps of entire sky at 4 IR wavelengths.)

ESA's Infrared Space Observatory (ISO), 1995-1998, world's first general-purpose IR space observatory.

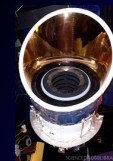
Japanese mission Akari. 2006-2007, it mapped more than 94% of the sky at infrared wavelengths in greater detail than IRAS.



NASA's Spitzer Space Telescope is a general-purpose infrared observatory with a slightly bigger telescope than ISO.

Herschel telescope, more than four times larger than any previous IR space telescope bridging the gap between infrared satellites and radio telescopes on ground.

IR astronomy become increasingly important to astronomers. ESA/NASA James Webb Space Telescope, IR space telescope designed to look into the very furthest reaches of space



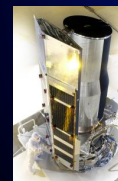
IRAS



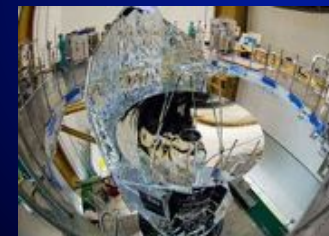
ISO



Akari



Spitzer

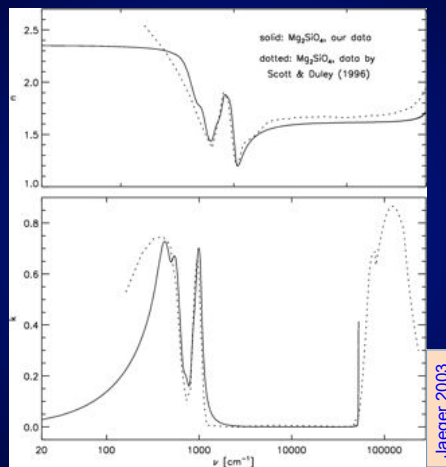


Herschel



JWST

Observer : les constantes optiques

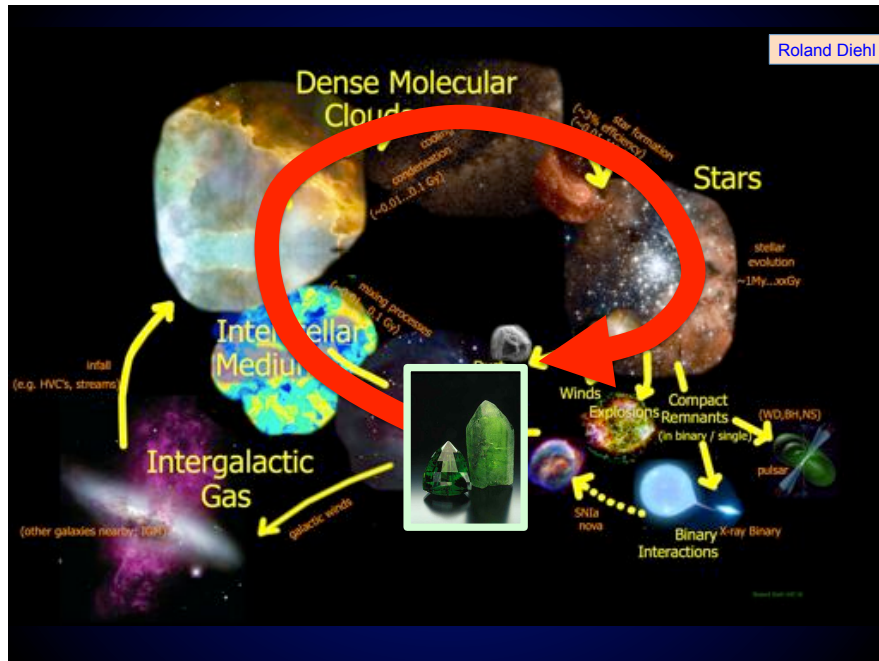


(sub)-mm FIR - Infrared - NIR Visible - UV

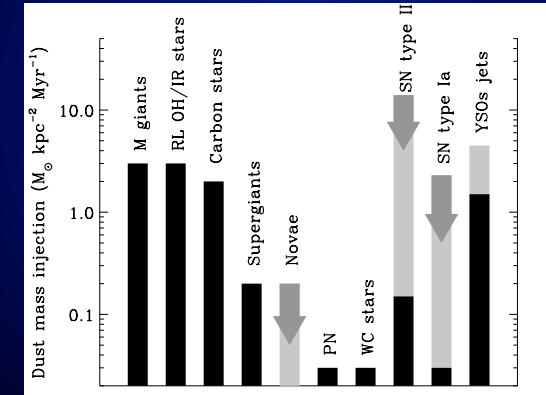
Jaeger 2003



Poussières carbonées et inorganiques

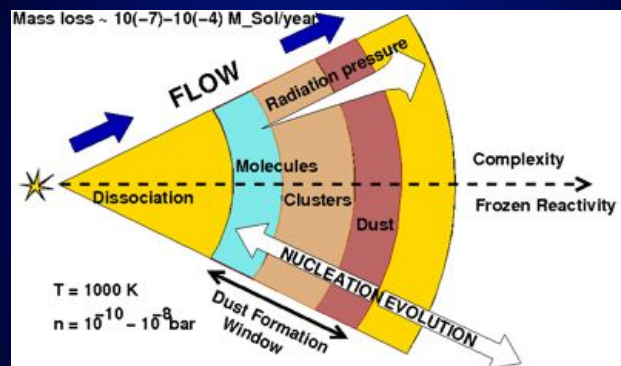


Les étoiles à perte de masse contribuent significativement à enrichir le milieu interstellaire en poussières.
La poussière est observée à des stades d'évolution ultérieurs



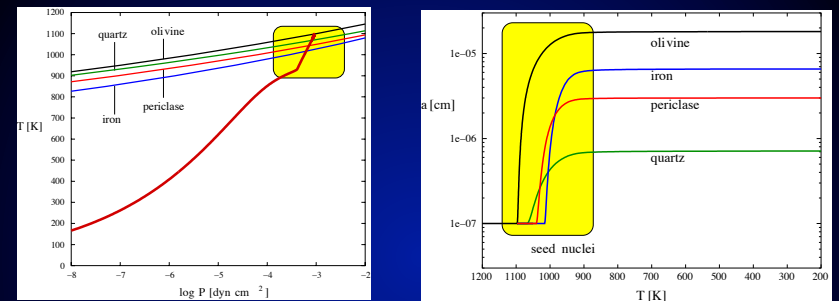
Jones 2001, Tielens 2005, Robitaille 2010, Matsuoara 2011

Vue schématique d'un flot stellaire/refroidissement



Adapté de Patzer 2004

Exemple de modèle de vent



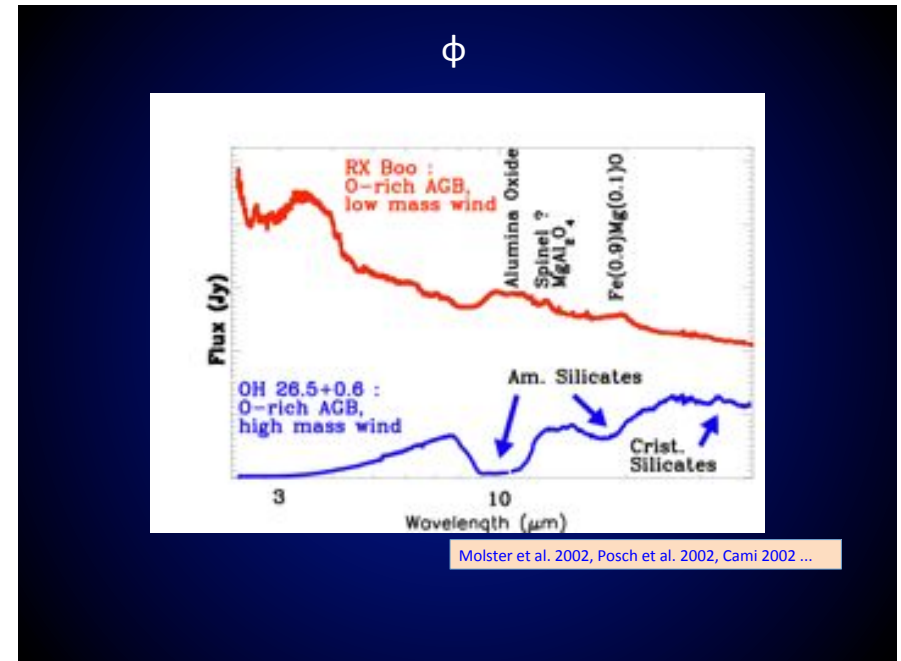
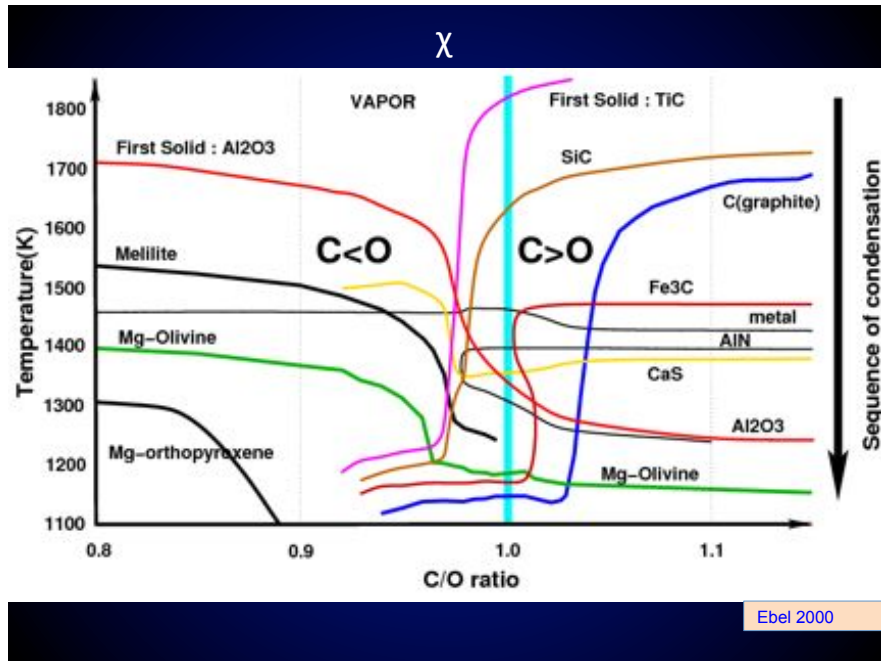
Gail & Sedlmayr 1999

Condensation loin de l'ETL $T \sim 1000 \text{ K}$, $P \sim 10^{-10} \text{ atm}$

Phase critique : agrégat de molécules pour former des particules de 10-100 atomes

Ces noyaux de condensation sont moins stables que les gros et requièrent une sursaturation / solide

Compétition temps caractéristique de formation et éjection (réactions « gelées »)



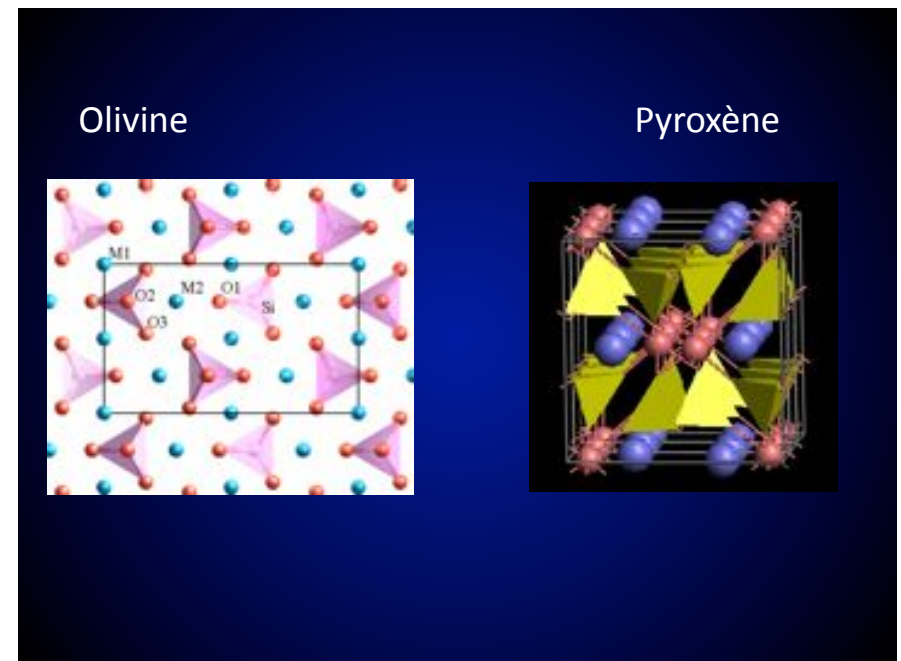
“Minéralogie” des Silicates

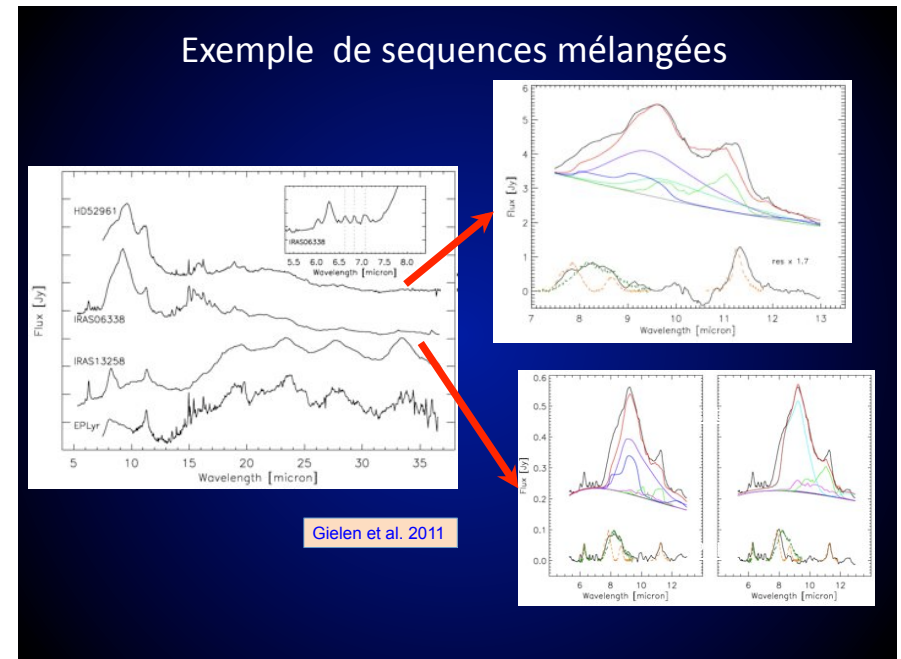
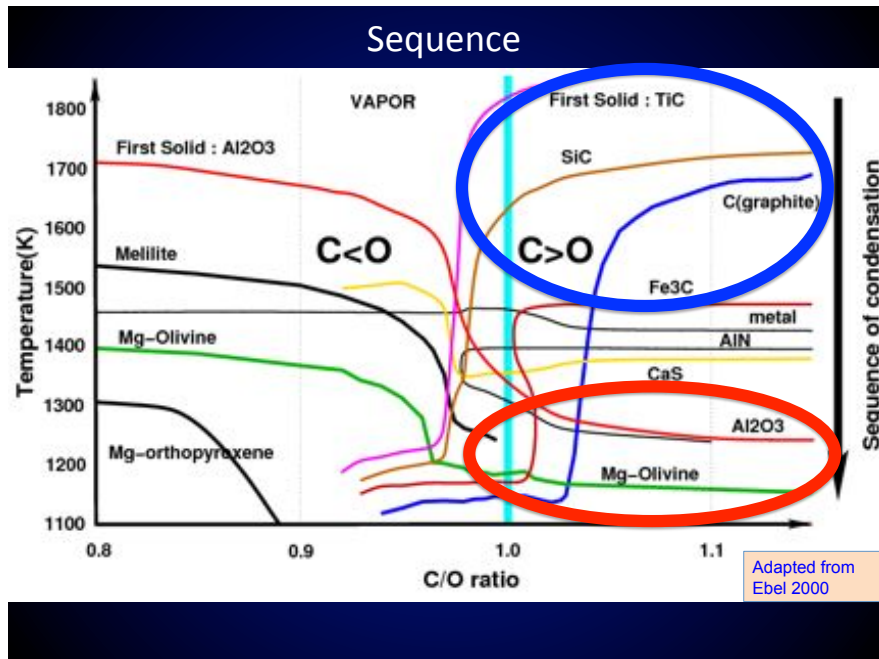
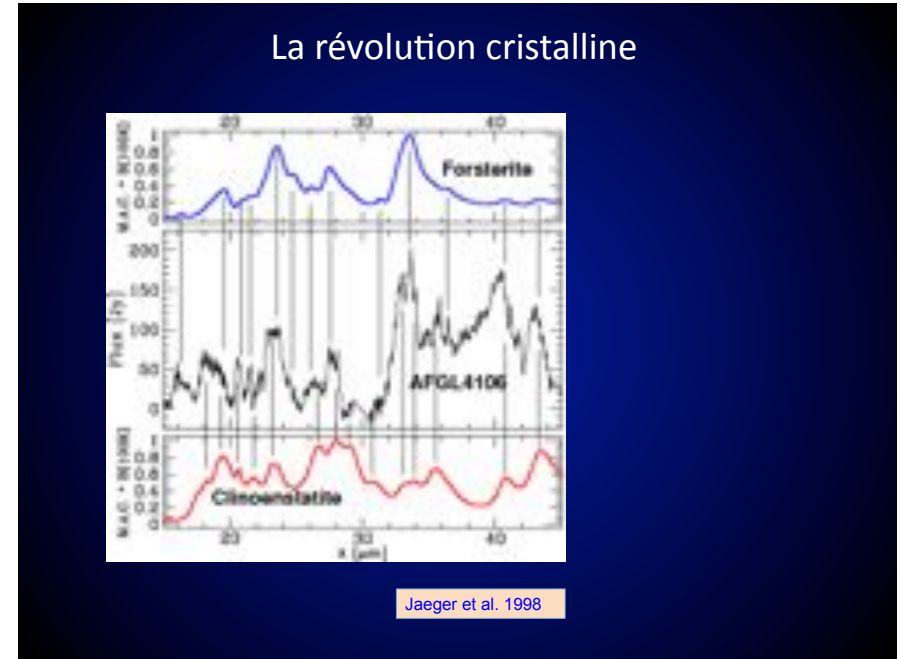
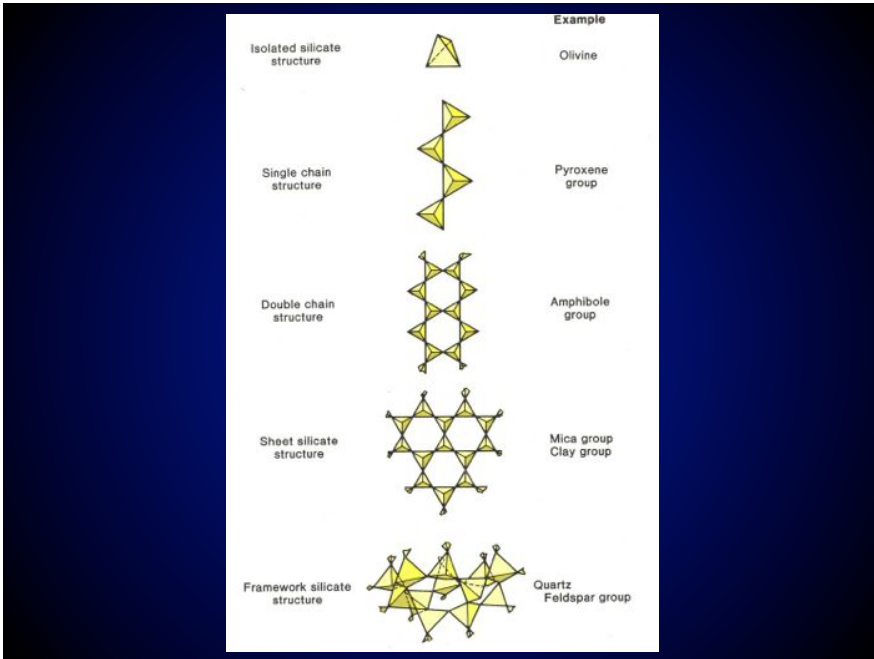
Olivines ($Mg_{2x}Fe_{2-2x}SiO_4$)

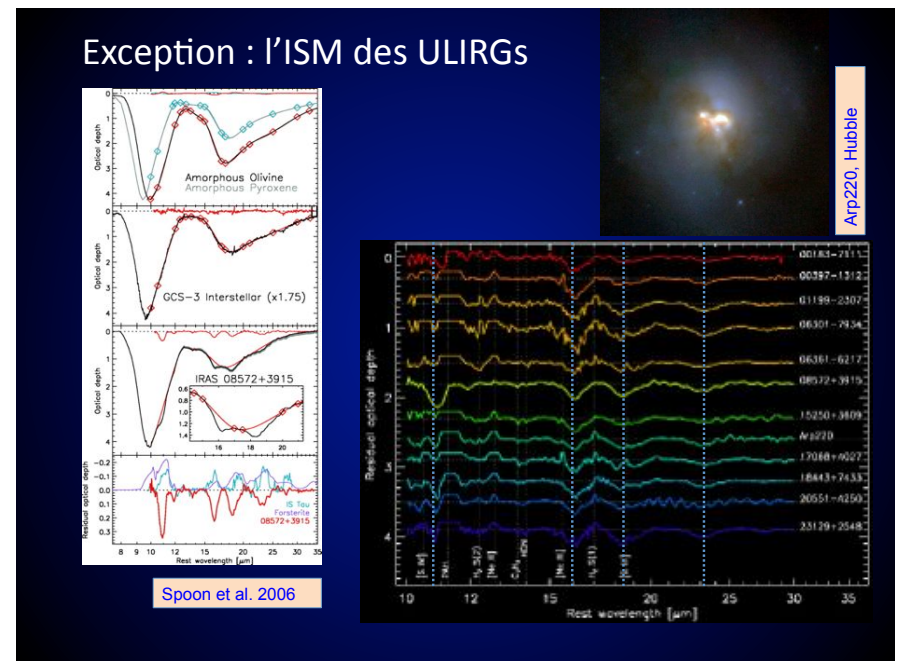
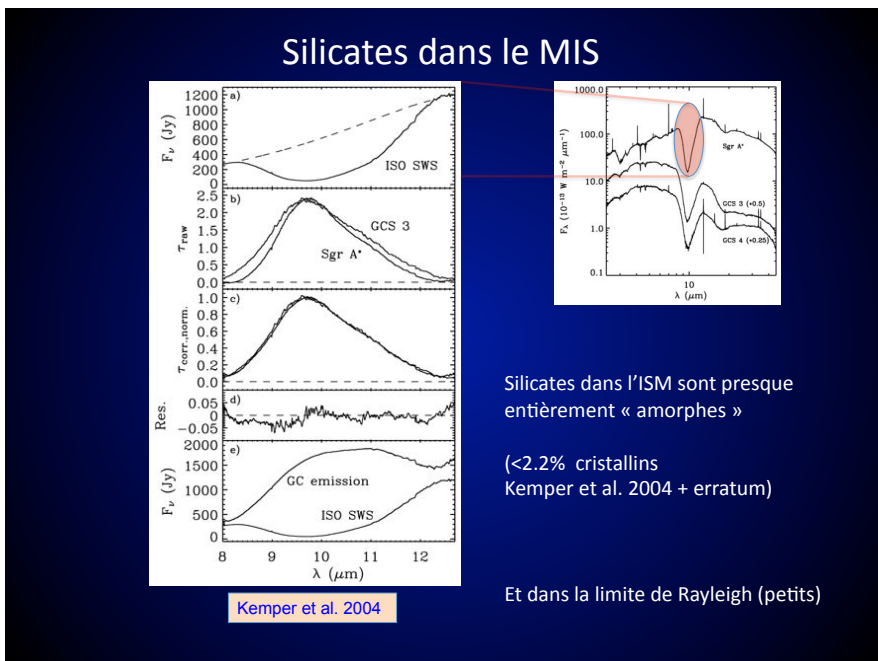
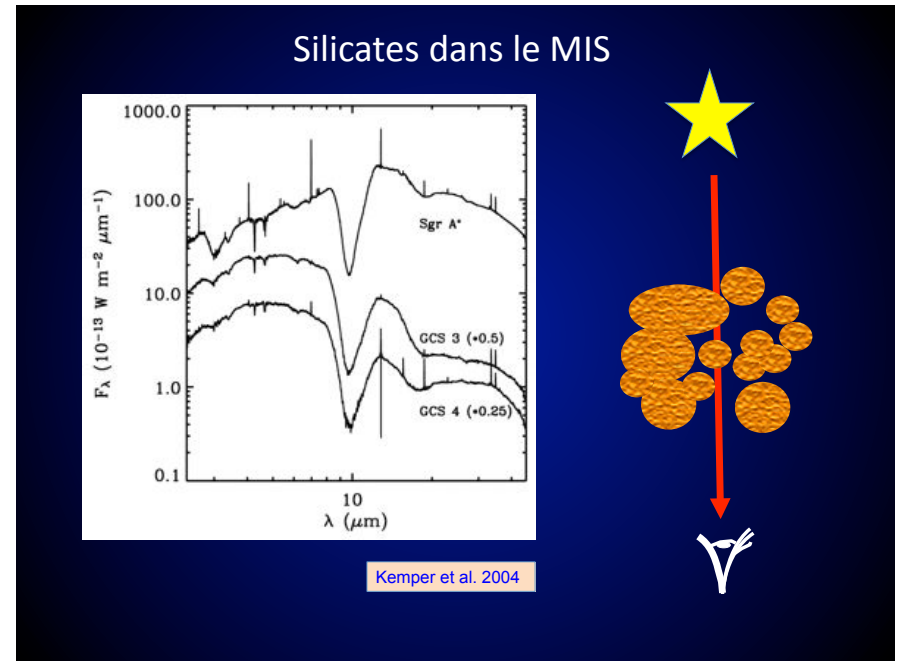
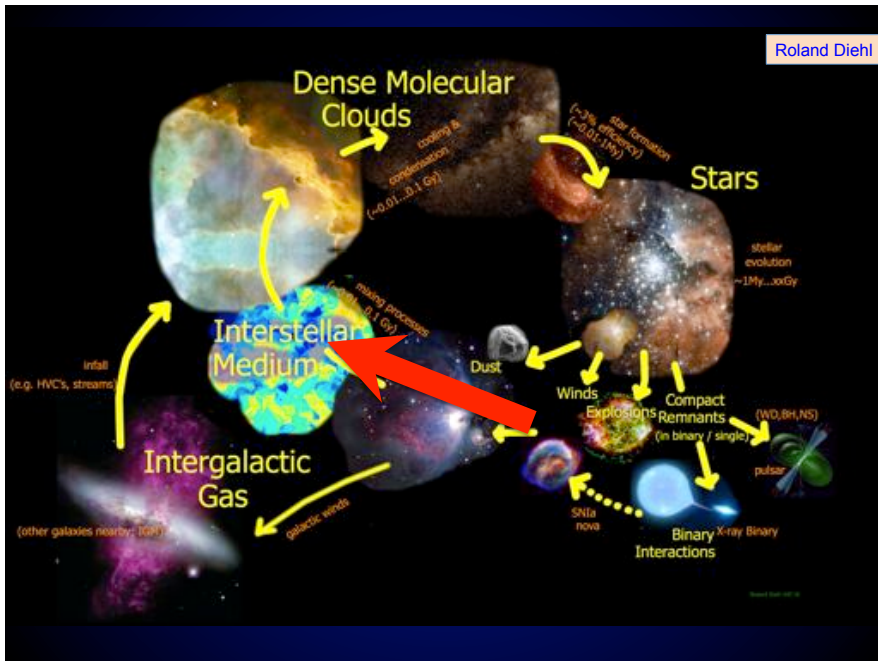
- Mg_2SiO_4 Forsterite
- Fe_2SiO_4 Fayalite

Pyroxenes ($Mg_xFe_{1-x}SiO_3$)

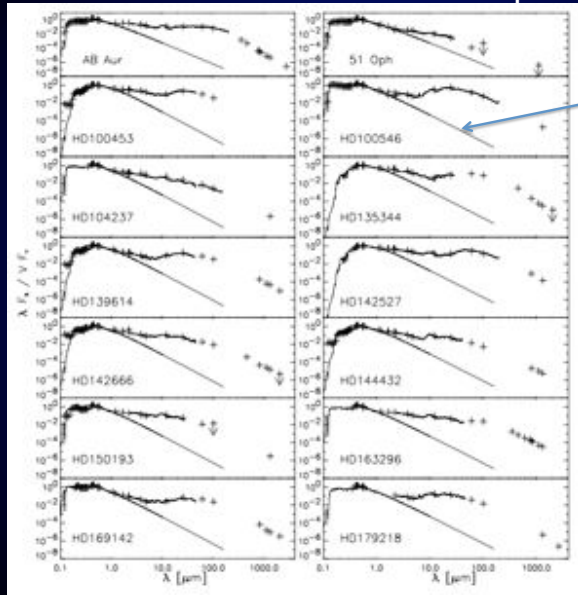
- $Mg_2Si_2O_6$ Enstatite
- $Fe_2Si_2O_6$ Ferrosilite (hypersthène)
- $CaMgSi_2O_6$ Diopside
- $CaFeSi_2O_6$ Hedenbergite







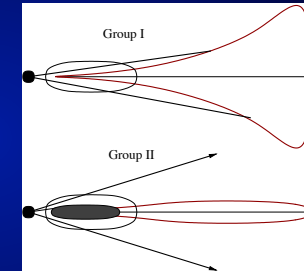
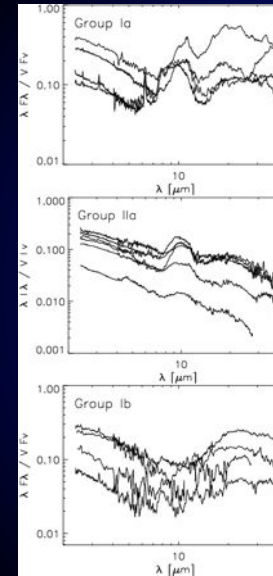
Silicates dans les disques



Modèle de Kurucz

Meeus et al. 2001

Silicates dans les disques



Meeus et al. 2001